# 银翘解毒软胶囊体外抑制人冠状病毒 229E 及其介导的炎症的研究

刘振海<sup>1,2</sup>,杨春光<sup>3</sup>,雷标<sup>3</sup>,王周琅<sup>3</sup>,谢玉琪<sup>3</sup>,杨子峰<sup>3,4</sup>,谢斌<sup>1</sup>(1. 江西中医药大学,江西 南昌 330103; 2. 中山市陈星海医院,广东 中山 528415; 3. 广州医科大学附属第一医院,广州呼吸健康研究院,广东 广州 510180; 4. 广州市传染性疾病临床快速诊断与预警重点实验室,广东 广州 510180)

摘要:目的 探究银翘解毒软胶囊(YQ)对人冠状病毒 229E(HCoV-229E)的体外抑制作用。方法 通过经典的体外细胞模型分析银翘解毒软胶囊的体外毒性及对 HCoV-229E 的抑制作用;通过空斑实验验证银翘解毒软胶囊对 HCoV-229E 的抑制作用;应用实时定量 PCR 法分析银翘解毒软胶囊对 HCoV-229E 介异的炎症因子表达水平的影响。结果 银翘解毒软胶囊对人肝癌细胞的 50%毒性浓度为(3 315±131) $\mu$ g·mL<sup>-1</sup>,对 HCoV-229E 的50%抑制浓度为(361.9±36) $\mu$ g·mL<sup>-1</sup>,选择指数为 9.16。空斑实验表明银翘解毒软胶囊 2 mg·mL<sup>-1</sup>几乎可完全抑制病毒复制(P<0.001)。银翘解毒软胶囊在 2 mg·mL<sup>-1</sup>浓度作用下,可明显抑制由冠状病毒 HCoV-229E 感染介导的炎症因子如趋化因子(C-C 基元)配体 5(CCL-5,P<0.001)、单核细胞趋化蛋白 1(MCP-1,P<0.001)、白细胞介素 6(IL-6,P<0.001)、白细胞介素 8(IL-8,P<0.001)和肿瘤坏死因子  $\alpha$ (TNF- $\alpha$ , P<0.001)核酸的升高。结论 体外实验显示银翘解毒软胶囊可抑制人冠状病毒 HCoV-229E 的复制及其介导的炎症反应,具有作为抗冠状病毒药物的开发价值。

关键词:银翘解毒软胶囊;人冠状病毒 229E(HCoV-229E);炎症因子;人肝癌细胞 Huh7 中图分类号:R285.5 文献标志码:A 文章编号:1003-9783(2022)01-0064-05

doi: 10.19378/j. issn. 1003-9783. 2022.01.010

# Inhibition of *Yinqiao Jiedu* Soft Capsules on Human Coronavirus 229E *in vitro* and Inflammatory Factors Induced by Virus Infection

LIU Zhenhai<sup>1,2</sup>, YANG Chunguang<sup>3</sup>, LEI Biao<sup>3</sup>, WANG Zhoulang<sup>3</sup>, XIE Yuqi<sup>3</sup>, YANG Zifeng<sup>3,4</sup>, XIE Bin<sup>1</sup>(1. Jiangxi University of Traditional Chinese Medicine, Nanchang 330103 Jiangxi, China; 2.Chen Xinghai Hospital, Zhongshan City, Zhongshan 528415 Guangdong, China; 3.Guangzhou Institute of Respiratory Health, The First Affiliated Hospital of Guangzhou Medical University, Guangzhou 510180 Guangdong, China; 4.Guangzhou Key Laboratory of Clinical Rapid Diagnosis and Early Warning of Infectious Diseases, Guangzhou 510180 Guangdong, China)

Abstract: Objective To explore *in vitro* inhibitory effect of *Yinqiao Jiedu* soft capsules on human coronavirus 229E (HCoV-229E). **Method** The toxicity of *Yinqiao Jiedu* soft capsules and its inhibitory effect on HCoV-229E *in vitro* were evaluated through the classic cell model. Plaque assay was performed to verify the inhibition of *Yinqiao Jiedu* soft capsules on HCoV-229E. Afterwards, real-time quantitative PCR was used to analyze the effect of *Yinqiao Jiedu* soft capsules on the expression of inflammatory factors induced by HCoV-229E. **Results** The 50% toxic concentration of *Yinqiao Jiedu* soft capsules on human liver cancer cells is  $(3315 \pm 131) \mu g \cdot mL^{-1}$ , the 50% inhibitory concentration on HCoV-229E is  $(361.9 \pm 36) \mu g \cdot mL^{-1}$ , and the selection index is 9.16. Plaque assay showed that *Yinqiao Jiedu* soft capsules (2 mg · mL<sup>-1</sup>) almost completely inhibited virus replication *in vitro* (P < 0.001). *Yinqiao Jiedu* soft capsules at a concentration of 2 mg · mL<sup>-1</sup> can significantly inhibit the increase of inflammatory factors induced by HCoV-229E infection, such as mRNA expressions of C-C motif chemokine ligand 5 (CCL-5, P < 0.001).

收稿日期: 2021-03-09

作者简介:刘振海,男,副主任医师,研究方向:中西医结合基础。Email: doctorlzh@sina.com。通信作者:杨子峰,男,教授,研究方向:呼吸道病毒感染。Email: jeffyah@163.com。谢斌,男,副教授,研究方向:中药抗肿瘤研究。Email: 331080826@qq.com。

基金项目: 国家科技重大专项项目(2018YFC1200101); 佛山市科技局项目(2020001000206); 广州市科技局项目(202102100003) 。

0.001), monocyte chemotactic protein-1 (MCP-1, P < 0.001), interleukin-6 (IL-6, P < 0.001), interleukin-8 (IL-8, P < 0.001) and tumor necrosis factor- $\alpha$  (TNF- $\alpha$ , P < 0.001). **Conclusion** *In vitro Yinqiao Jiedu* soft capsules can inhibit the replication of HCoV-229E and the inflammatory response induced by virus infection, which has development value as an anti-coronavirus drug.

**Keywords:** *Yinqiao Jiedu* soft capsules; human coronavirus 229E (HCoV-229E); inflammatory factors; human hepatoma cell line Huh7

人类冠状病毒(human coronaviruses, HCoVs)是人类上呼吸道感染的常见病因,包括 229E、NL63、HKU1 和 OC43 四个病毒株,在全球范围内传播<sup>111</sup>。人类冠状病毒被认为是人类普通感冒(common cold)的第 2 大病因<sup>121</sup>,可引起无症状或轻度上呼吸道症状感染,也可导致下呼吸道感染,导致细支气管炎和肺炎,尤其在免疫低下、婴儿和老年人群中<sup>111</sup>。冠状病毒包括 alpha、beta、gamma 和 delta 四个亚型,其中 229E 和 OC43 分别是 alpha 和 beta 亚型的原型毒株(祖先株),是两个亚型的代表性病毒株,可导致15%~29%的普通感冒<sup>111</sup>。

近年来,爆发了 3 次新型的冠状病毒感染人事件,包括高死亡率的 2002—2003 年 SARS-CoV 导致的急性呼吸窘迫综合征和 2012 年 MERS-CoV 导致的中东呼吸综合征,以及 2019 年爆发的由 SARS-CoV-2 导致的高传播率和致病率的新型冠状病毒肺炎(COVID-19)(截至 2021 年 5 月底,全球 COVID-19 患者达 1 亿 7 仟多万例)[3],严重威胁着人类健康和社会稳定。

目前,人类冠状病毒没有特异性抗病毒药物[4]。 针对冠状病毒的在研药物主要有单克隆抗体和直接 抗病毒类药物,包括蛋白酶、螺旋酶、聚合酶抑制 剂、免疫调节类药物(如干扰素和糖皮质激素)和广 谱抗病毒的核苷类似物利巴韦林(Ribavirin)[4]。近 年,同为核苷类似物的瑞德西韦(Remdesivir)被证明 对 SARS-CoV 和 MERS-CoV 具有抑制作用[5-7]。由于 核苷类似物药物毒性较强,不能用于轻症患者治疗。

中国历史中,中医中药在应对"瘟疫"方面发挥了巨大作用,其中麻杏石甘汤和银翘散两个名方尤为常见。银翘系列之一的银翘解毒胶囊由金银花、连翘、薄荷、荆芥、淡豆豉、牛蒡子(炒)、桔梗、淡竹叶和甘草九味中草药组成,具有疏风解表,清热解毒的功能,用于风热感冒,症见发热头痛、咳嗽口干、咽喉疼痛者,作为成方制剂被收录于2020版《中华人民共和国药典》<sup>[8]</sup>。有网络药理学研究<sup>[9]</sup>将银翘解毒软胶囊所含 1 418 个化合物与 48 个

COVID-19 炎症相关靶蛋白进行分子对接,发现其含有 37 个潜在的炎症为主的靶点,与新型冠状病毒 3CL 水解酶及其受体血管紧张素 2 具有亲和力,显示其具有治疗感冒和冠状病毒的潜力。但目前尚未有银翘解毒软胶囊对普通冠状病毒抑制作用的基础研究,故本研究应用经典体外模型,分析银翘解毒软胶囊对人冠状病毒 229E(HCoV-229E)的抑制作用,及其对 HCoV-229E 介导的炎症的影响。

## 1 材料与方法

1.1 药物及试剂 银翘解毒软胶囊(YQ), 江苏康缘 药业股份有限公司,批号:190902,使用二甲基亚 砜(DMSO)融解成 400 mg·mL<sup>-1</sup>母液,使用含 2%FBS 的 DMEM 稀释 100 倍(4 mg·mL-1)作为工作初始浓 度,以1%DMSO作为溶剂对照。瑞德西韦,上海吉 至生化科技有限公司,批号: G89788656,使用 DMSO 融解成 500 µmol·mL<sup>-1</sup>母液,使用含 2%FBS 的 DMEM 稀释 100 倍(5 μmol·mL<sup>-1</sup>)作为工作浓度。 胎牛血清(FBS, 批号: 12J065)、高糖型培养基 (DMEM, 批号: 8118250)、100×青/链霉素双抗 (Pan-Strep, 批号: 2257223)、0.25%胰酶-EDTA(批 号: 2062475)、磷酸盐缓冲盐溶液(PBS, 批号: 8120401), 美国 Gibco 公司。二甲基亚砜(DMSO), 天津市大茂化学试剂厂,批号:20200410。细胞活 性测定 Cell Counting Kid-8(CCK-8), 美国 APExBIO 公司, 批号: G89788656。核酸提取试剂盒 NucleoZOL,德国 Macherey-Nagel 公司(德国),批 号: 15011001。一步法实时定量 PCR 试剂 One Step TB Green®PrimeScript™ PLUS RT-PCR Kit, 日本 TAKARA公司, 批号: RR096A。

**1.2 细胞及病毒** 人肝癌细胞 Huh7,购自美国模式培养物保藏中心(ATCC),在 37  $^{\circ}$  、5%CO<sub>2</sub>条件下培养于含 10% FBS 的 DMEM 中。人冠状病毒 HCoV-229E,由广州医科大学附属第一医院呼吸疾病研究所赵金存课题组赠与,接种于 Huh7 细胞上,培养在含 2%FBS 的 DMEM 中,37  $^{\circ}$  、5%CO<sub>2</sub>培养 3~4 d,

用于模型[10]复制。

1.3 仪器 Multiskan Spectrum 酶标仪, 美国 Thermo Fisher 公司; ABI PRISM®7500 Real-time PCR 检测系统, 美国 Applied Biosystems 公司。

**1.4 药物毒性实验** Huh7 细胞融合至 90%以上时,胰酶消化并接种于 96 孔细胞板中,每孔  $1 \times 10^4$ 个细胞,37 °C、5%CO₂培养 18 h 至 90%以上细胞融合。弃原培养基,PBS 洗细胞 1 次。设正常对照、溶剂对照组和银翘解毒软胶囊各浓度组。银翘解毒软胶囊以 4 mg·mL⁻¹作为工作初始浓度,2 倍倍比稀释至 10 个浓度  $(4 \times 2 \times 1 \times 0.5 \times 0.25 \times 0.125 \times 0.062 \times 0.031 \times 0.015 \times 0.007 \times 0.025 \times 0.005 \times 0.007 \times 0.001 \times 0.0$ 

1.5 抗病毒实验 Huh7 细胞融合至 90%以上时,胰 酶消化并接种于 96 孔细胞板中, 每孔 1×10<sup>4</sup>个细 胞, 37 ℃、5%CO<sub>2</sub>培养 18 h 至 90%以上融合;弃原 培养基, PBS 洗细胞 1 次。设正常对照组、病毒对照 组和银翘解毒软胶囊各浓度组。保留 1 列细胞作为 正常对照组,其余各组以100TCID50(MOI=0.01)病毒 接种于细胞上, 37 ℃孵育 120 min, 弃病毒上清液。 银翘解毒软胶囊各浓度组加入 2 倍倍比稀释的银翘 解毒软胶囊各浓度组(2、1、0.5、0.25、0.125、  $0.062\ 5$ ,  $0.031\ 25$ ,  $0.015\ 625$ ,  $0.007\ 812\ 5\ mg\cdot mL^{-1}$ ) 400 mg·mL<sup>-1</sup>的银翘解毒软胶囊母液由 100%DMSO 配 置,稀释至 2 mg·mL<sup>-1</sup>时 DMSO 含量为 0.5%,故正 常对照组加入含 2%FBS+0.5%DMSO 的培养基;病毒 对照组给予含 2%FBS 的 DMEM 培养基。以上每组 6 个复孔, 37 ℃、5%CO<sub>2</sub>培养 3 d。肉眼镜下观察细 胞病变情况,并记录计算半数抑制浓度(IC50)。重复 3 次独立实验,结果以均数±标准差 $(x \pm s)$ 展示。

1.6 空斑减少实验 Huh7 细胞融合至 90%以上时,胰酶消化并接种于 12 孔细胞板中,每孔 5×10<sup>5</sup>个细胞;37 ℃、5%CO₂培养 24 h 至形成致密单层细胞,弃原培养基,PBS 洗细胞 1 次。设正常对照组、病毒对照组、阳性对照组(瑞德西韦组)和银翘解毒软胶囊各浓度组。保留 2 孔细胞作为正常对照组,加入含 2% FBS 的 DMEM 培养基,余每孔加 500 μL 30 PFU 的 HCoV-229E 病毒液在 37 ℃、5%CO₂培养箱中孵育 2 h,弃病毒培养液。以 5 μmol·L⁻¹瑞德西

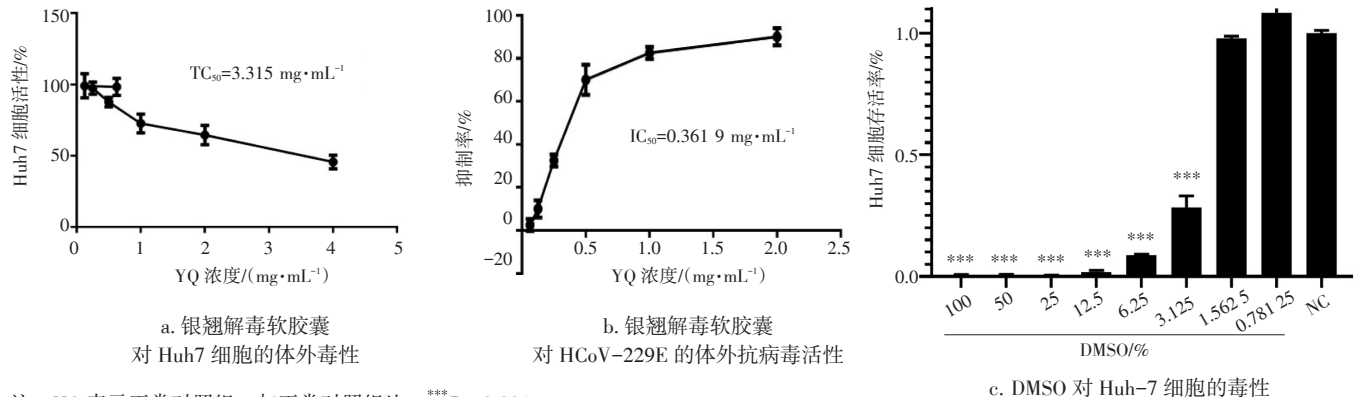
韦干预作为阳性药物对照组<sup>111</sup>; 银翘解毒软胶囊设3 个浓度(4、2、1 mg·mL<sup>-1</sup>)组; 病毒对照组给予含2%FBS 的 DMEM 培养基。分别与 1.2%琼脂糖 1:1混合,每孔加入 2 mL 的混合液,待混合液凝固后,孵育 72 h。每孔加入 1 mL 的 4%多聚甲醛固定过夜后,每孔再加入 300 μL 结晶紫染色液,室温染色0.5 h。自来水轻缓冲洗,晾干后计算抑制率。空斑抑制率=[(病毒组的空斑数-药物组的空斑数)/病毒组的空斑数]×100%。实验重复 3 次。

1.7 实时荧光定量 PCR 法测定炎症因子的表达 Huh7 细胞融合至 90%以上时, 胰酶消化并接种于 6 孔细胞板中,每孔 5×10<sup>5</sup>个细胞,37 ℃、5%CO<sub>2</sub>培 养 18 h 至 90%以上融合,弃原培养基, PBS 洗细胞 1次。设正常对照组、病毒对照组、阳性药物对照组 (瑞德西韦组)和银翘解毒软胶囊各浓度组(2、1、 0.5 mg·mL<sup>-1</sup>),每组1孔。保留1孔细胞作为正常对 照组,加入含2%FBS的DMEM培养基;其余组以 2.5×10<sup>5</sup>TCID<sub>50</sub>(MOI=0.5)病毒接种于细胞上,37℃孵 育 120 min 后弃病毒上清液。病毒对照组加入含 2% FBS 的 DMEM 培养基; 5 μmol·L<sup>-1</sup>瑞德西韦干预作为 阳性药对照组[11]; 银翘解毒软胶囊设3个浓度(2、 1、0.5 mg·mL<sup>-1</sup>)组。药物处理 8 h 后,弃上清液, PBS 洗细胞 1 次。根据 NucleoZOL 试剂盒说明书提 取核酸,应用一步法 PCR 检测样本的炎症相关因子 (CCL-5、MCP-1、IL-6、IL-8 和 TNF-α)的 mRNA 相对比较水平,以 GAPDH 表达水平为基准对照。实 验重复3次。

**1.8 统计学处理方法** 应用 SPSS 17.0 软件进行统计分析,数据以均数±标准差( $\bar{x} \pm s$ )表示。多组间比较采用单因素方差分析(One-way ANOVA),两两比较采用 LSD 检验。P < 0.05 表示差异有统计学意义。

#### 2 结果

2.1 银翘解毒软胶囊体外毒性及抗病毒实验结果 细胞毒性实验结果显示,银翘解毒软胶囊外对 Huh7 细胞的 TC₅₀为(3 315±131)μg·mL⁻¹(图 1-a)。抗病毒实验结果显示,银翘解毒软胶囊原料药物体外对HCoV-229E的 IC₅₀为(361.9±36)μg·mL⁻¹(图 1-b)。使用以上两个指标的平均值计算得药物的选择指数(SI, SI=TC₅₀/IC₅₀)为 9.16,说明药物体外抗病毒效果明显。图 1-c显示,与正常组比,当 DMSO 含量≤1.562 5%时,对 Huh7 细胞无毒性,故 DMSO 的含量对本实验中所选的银翘解毒软胶囊各浓度组的药效学无影响。



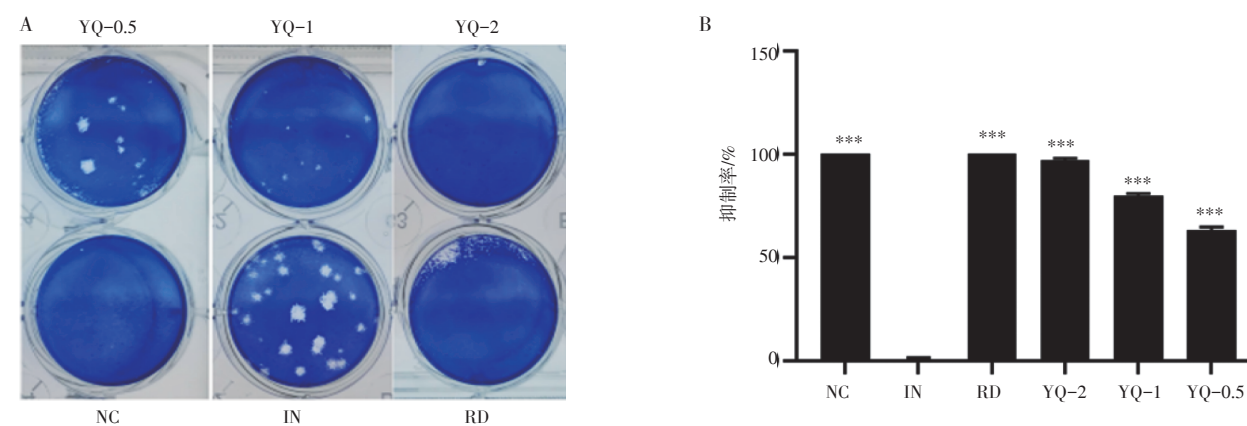
注: NC 表示正常对照组。与正常对照组比,\*\*\*\*P<0.001

#### 图 1 银翘解毒软胶囊(YQ)体外毒性与抗病毒活性( $\bar{x} \pm s$ , n=6)

Figure 1 Antiviral activity and cytotoxicity of Yingiao Jiedu soft capsules (YQ) in vitro  $(\bar{x} \pm s, n=6)$ 

**2.2 空斑减少法实验结果** 图 2 显示,银翘解毒软胶囊各浓度均能明显抑制 HCoV-229E 病毒的增殖(P<

0.001), 呈剂量依赖性, 并且 2 mg·mL<sup>-1</sup>银翘解毒软胶囊几乎能完全抑制病毒空斑形成。



注:NC,正常对照组;IN,病毒对照组;RD,5  $\mu$ mol·L<sup>-1</sup>瑞德西韦干预处理组;YQ-2、YQ-1、YQ-0.5 分别为 2、1、0.5  $\mu$ mcl<sup>-1</sup>银翘解毒软胶囊干预处理组。与病毒对照组比较,\*\*\*\*P<0.001

图 2 银翘解毒软胶囊(YQ)抗人冠状病毒 229E(HCoV-229E)作用的空斑结果(A)及对人冠状病毒 229E(HCoV-229E)的 抑制率(B) $(\bar{x} \pm s, n=3)$ 

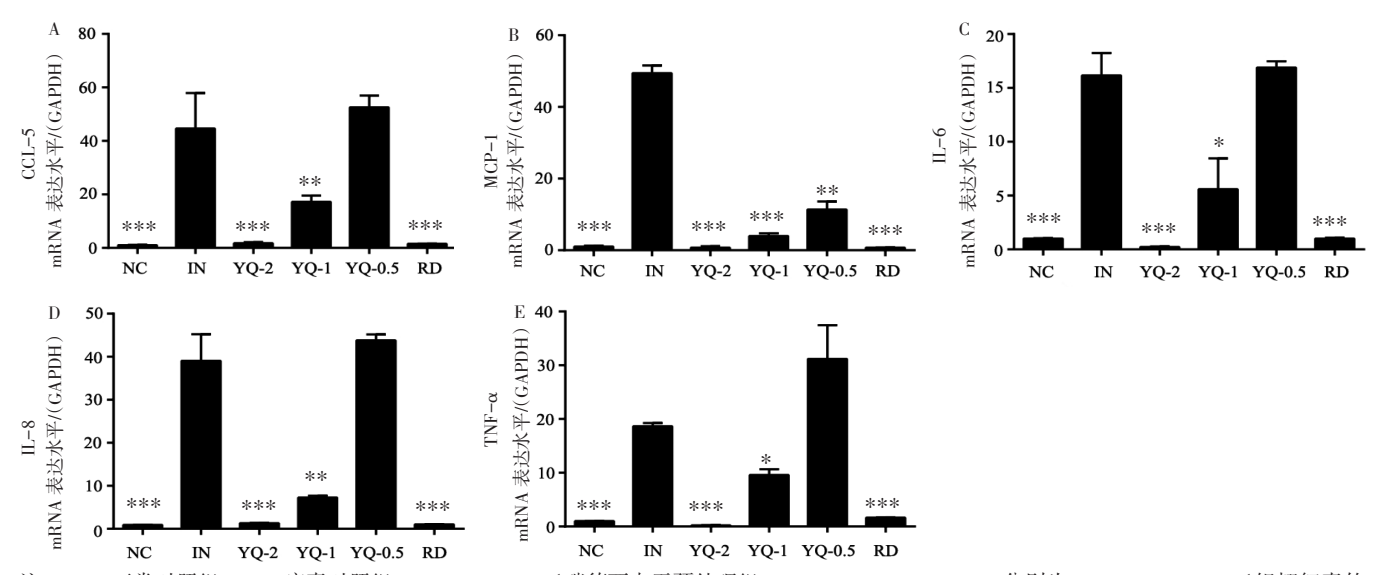
Figure 2 Viral plaque results of antiviral activity of *Yinqiao Jiedu* soft capsules (YQ) against HCoV-229E(A) and inhibition rate of *Yinqiao Jiedu* soft capsules (YQ) on HCoV-229E(B)  $(\bar{x} \pm s, n=3)$ 

2.3 银翘解毒软胶囊体外抑制病毒感染导致的炎症因子 mRNA 表达 本研究应用冠状病毒 HCoV-229E 刺激 Huh7 细胞激发炎症反应,并使用银翘解毒软胶囊进行干预,分析其对炎症相关因子 CCL-5、MCP-1、IL-6、IL-8 和 TNF-α 基因表达水平的影响。图 3 结果显示,HCoV-229E 感染后,病毒对照组 CCL-5、MCP-1、IL-6、IL-8、TNF-α 水平升高,分别相当于 GAPDH 的 43、48、15.7、38.6、18.9 倍。与病毒对照组比,给予 5 μmol·L⁻¹阳性药物瑞德西韦干预后,上述 5 个炎症因子表达水平下降至正常细胞水平(P<0.001)。给予 2 mg·mL⁻¹银翘解毒软胶囊干预后,5 个炎症因子表达水平下降至正常细胞水平(P<0.001)。给予 1 mg·mL⁻¹银翘解毒软胶囊干预后,MCP-1下降至 GAPDH 的 5.1 倍(P<0.001),CCL-5

和 IL-8 分别下降至 18 倍和 8.2 倍(P<0.01),IL-6 和 TNF- $\alpha$  分别下降至 6.2 倍和 10.4 倍(P<0.05)。给 予 0.5 mg·mL<sup>-1</sup>银翘解毒软胶囊干预后,MCP-1 下降至 12.1 倍(P<0.01),其他 4 个因子无明显下降(P>0.05)。

# 3 讨论

体外细胞筛选模型是抗病毒药物最经典的初筛模型,可直观地验证药物对病毒和宿主细胞的影响。银翘解毒软胶囊(YQ)作为已纳入中国药典的成方制剂,在中医体系中有长期应对感冒的使用历史和经验,但在现代药理学研究体系方面依然缺乏科学证据。本研究通过经典的体外细胞模型,初步探讨了银翘解毒软胶囊(YQ)对人冠状病毒 229E(HCoV-229E)的体外抑制作用。结果显示,银翘解毒软胶囊



注: NC, 正常对照组; IN, 病毒对照组; RD, 5 μmol·L<sup>-1</sup>瑞德西韦干预处理组; YQ-2、YQ-1、YQ-0.5 分别为 2、1、0.5 mg·mL<sup>-1</sup>银翘解毒软胶囊干预处理组。与病毒对照组比较,\*P<0.05, \*\*P<0.01, \*\*\*P<0.001

图 3 银翘解毒软胶囊(YQ)体外抑制人冠状病毒 229E(HCoV-229E)介导的炎症因子 mRNA 升高 $(\bar{x} \pm s, n=3)$ 

Figure 3 Yinqiao Jiedu soft capsules (YQ) inhibit the increase mRNA expression of inflammatory factors induced by HCoV-229E in vitro  $(\bar{x} \pm s, n=3)$ 

作为成方制剂,在体外细胞模型中对 HCoV-229E 的 抑制选择指数达到 9.16,并且空斑实验结果也显示 其对 HCoV-229E 具有较好的抑制活性,对病毒介导的炎症相关因子 CCL-5、MCP-1、IL-6、IL-8 和 TNF-α 均具有明显抑制作用。

冠状病毒作为人类普通流感的主要病原体,其中 HCoV-229E 是冠状病毒中主要的流行病毒株。本研 究选择 HCoV-229E 作为研究目标,具有临床代表性。

病毒感染,是病毒和宿主细胞相互作用的结果,其中,炎症反应是机体固有免疫抵抗病原体感染的主要机制之一。研究<sup>[12]</sup>显示,炎症相关因子 CCL-5、MCP-1、IL-6、IL-8、TNF-α与 HCoV-229E 感染相关性高。本研究通过体外模型建立 HCoV-229E 感染致炎症模型,应用实时定量 PCR 方法初步探讨银翘解毒软胶囊对炎症因子 CCL-5、MCP-1、IL-6、IL-8和TNF-α基因表达的影响。结果显示在 2 mg·mL<sup>-1</sup>浓度下,银翘解毒软胶囊可明显抑制由 HCoV-229E 感染导致的炎症因子升高。

本研究结果显示,银翘解毒软胶囊具有作为抗冠 状病毒药开发的价值,但其抗病毒和抗炎机制、体 内模型的药效尚未明确。在未来的研究中,本课题 组将更深入地开展其机制及体内药效分析研究。

### 参考文献:

- [1] SU S, WONG G, SHI W, et al. Epidemiology, genetic recombination, and pathogenesis of coronaviruses[J]. Trends Microbiol, 2016, 24(6): 490–502.
- [2] MÄKELÄ M J, PUHAKKA T, RUUSKANEN O, et al. Viruses and

- bacteria in the etiology of the common cold[J]. J Clin Microbiol, 1998, 36(2): 539-542.
- [3] World Health Organization. Coronavirus disease (COVID-19) pandemic [EB/OL]. (2021-05-31)[2021-05-31]. https://www.who.int/emergencies/ diseases/novel-coronavirus-2019.
- [4] PRUIJSSERS A J, DENISON M R. Nucleoside analogues for the treatment of coronavirus infections[J]. CurrOpinVirol, 2019, 35: 57– 62
- [5] LI Z, WANG X, CAO D, et al. Rapid review for the anti-coronavirus effect of remdesivir[J]. Drug DiscovTher, 2020, 14(2): 73-76.
- [6] SAIJO M, MORIKAWA S, FUKUSHI S, et al. Inhibitory effect of mizoribine and ribavirin on the replication of severe acute respiratory syndrome(SARS)-associated coronavirus[J]. Antiviral Res., 2005, 66 (2-3): 159-163.
- [7] CHAN J F, CHAN K H, KAO R Y, et al. Broad-spectrum antivirals for the emerging Middle East respiratory syndrome coronavirus[J]. J Infect, 2013, 67(6): 606-616.
- [8] 中国药典委员会. 中华人民共和国药典: 一部[M]. 北京: 中国医药科技出版社, 2020: 1631.
- [9] 苏真真, 张新庄, 柯志鹏, 等. 银翘解毒软胶囊治疗新型冠状病毒肺炎(COVID-19)的网络药理学研究[J]. 中草药, 2020, 51(9): 2354-2360.
- [10] MA Q H, LI R F, PAN W Q, et al. Phillyrin(KD-1) exerts antiviral and anti-inflammatory activities against novel coronavirus (SARS-CoV-2) and human coronavirus 229E (HCoV-229E) by suppressing the nuclear factor kappa B (NF-κB) signaling pathway [J]. Phytomedicine, 2020, 78: 153296.
- [11] MA Q H, LI R F, PAN W Q, et al. Liu Shen capsule shows antiviral and anti-inflammatory abilities against novel coronavirus SARS- CoV- 2 via suppression of NF- κB signaling pathway[J]. Pharmacological research, 2020, 158: 104850.
- [12] CHEN B, TIAN E K, HE B, et al. Overview of lethal human coronaviruses[J]. Signal Transduct Target Ther, 2020, 5(1): 89.

(编辑:修春)